

Санкт-Петербургский Политехнический Университет  
Высшая школа прикладной математики и вычислительной физики, ФизМех  
01.03.02 Прикладная математика и информатика

**Отчет по лабораторной работе № 9**  
**"Приближение табличных функций сплайнами и МНК"**  
**дисциплина "Численные методы"**

Выполнил студент гр. 5030102/20003  
Преподаватель

Ляпустин Е.О.  
Козлов К.Н.

Март, 2024

# Формулировка задачи и ее формализация

Приближение табличной функции методом наименьших квадратов

## Формализация задачи:

Реализовать МНК для системы алгебраических полиномов, проанализировать его работу

## Поставленные задачи:

1. Реализовать алгоритм метода
2. Ручной расчет тестового примера сделать для полинома 2 порядка и 5 узлов. Вычислить максимальную ошибку – разность между значением функции и полинома в узлах и серединах между узлами.
3. Иллюстрация работы метода. Построить полиномы 1, 2 и 3 порядков по методу наименьших квадратов для выбранного числа узлов, 100..200. Построить график функции и полиномов, отметить узлы. Вычислить ошибку в узлах и в серединах между узлами. Построить график ошибки для этих полиномов.
4. Исследование зависимости максимальной ошибки от числа узлов для полинома 3 степени, число узлов 10..1000.
5. Исследование зависимости максимальной ошибки от степени полинома, 2..10, для выбранного числа узлов, 100..200.

Также, вариант подразумевает выполнение следующего доп. задания:

Исследование влияния весов. Ввести вес для каждой точки данных, сумма весов равна 1. Построить график функции и полиномов 1, 2 и 3 порядков для разного значения веса у одной выбранной точки. Построить график зависимости ошибки в этой точке и максимальной ошибки при изменении веса, для полинома 2 порядка

## Алгоритм метода и условия применимости

Основная задача МНК - отыскание коэффициентов полинома. Данные коэффициенты - есть решение СЛАУ, которая задается следующей формулой:

$$\sum_{j=0}^m (\phi_j^h, \phi_k^h) a_j = (y^h, \phi_k^h), k = 0, \dots, m$$

где  $a_j$  - есть искомые коэффициенты,

$$\phi(x_i) = \sum_{j=0}^m a_j * \phi_j(x_i)$$

$$\phi_k^h = \{\phi_k(x_i)\}_{i=0}^n$$

$$\phi_k(x_i) = x_i^k$$

## Предварительный анализ задачи

Вариант включает в себя приближение МНК двух следующих функций:

$$x^2 - \sqrt{\log_{10}(x + 3)} \quad (1)$$

$$x^3 - 0.2x^2 + 0.4|x| + 1.4 \quad (2)$$

Для аппроксимации функции (1) выбран отрезок  $[-2; 4]$ . Для функции (2) -  $[0; 5]$  (выбор интервалов непрерывности)

Рычной рачнеи

$$f(x) = x^2 - \sqrt{\log_{10}(x+3)}$$

$$[a, b] = [-2, 4], \quad n = 4$$

$$x^h = \{-2; -0,5; 1; 2,5; 4\}$$

$$y^h = \{4; -0,38; 0,22; 5,39; 15,08\}$$

$$\rho = \{1; 1; 1; 1; 1\} \text{ - веса узлов}$$

$$\varphi(x) = a_0 + a_1 x + a_2 x^2$$

$$\varphi_0(x) = 1$$

$$\varphi_1(x) = x$$

$$\varphi_2(x) = x^2$$

$$\varphi_j^h = \{\varphi_j(x_i)\}_{i=0}^{n-1}$$

$$y^h = y^h = \{y_i\}_{i=0}^{n-1}$$

$$\sum_{j=0}^{m-1} (\varphi_j^h, \varphi_k^h) a_j = (y^h, \varphi_k^h), \quad k = 0, 1, 2$$

$$(\varphi_j^h, \varphi_k^h) = \sum_{i=0}^{n-1} x_i^j \cdot x_i^k = \sum_{i=0}^{n-1} x_i^{j+k}$$

Получена СЛАУ:

$$\begin{cases} \left(\sum_{i=0}^4 1\right) a_0 + \left(\sum_{i=0}^4 x_i\right) a_1 + \left(\sum_{i=0}^4 x_i^2\right) a_2 = \sum_{i=0}^4 y_i, \\ \left(\sum_{i=0}^4 x_i\right) a_0 + \left(\sum_{i=0}^4 x_i^2\right) a_1 + \left(\sum_{i=0}^4 x_i^3\right) a_2 = \sum_{i=0}^4 y_i x_i, \\ \left(\sum_{i=0}^4 x_i^2\right) a_0 + \left(\sum_{i=0}^4 x_i^3\right) a_1 + \left(\sum_{i=0}^4 x_i^4\right) a_2 = \sum_{i=0}^4 y_i x_i^2. \end{cases}$$

$$\begin{cases} 5a_0 + 5a_1 + 27,5a_2 = 29,31 \\ 5a_0 + 27,5a_1 + 72,5a_2 = 66,21 \\ 27,5a_0 + 72,5a_1 + 312,13a_2 = 291,1 \end{cases}$$

$$a_0 = -0,63$$

$$a_1 = -0,21$$

$$a_2 = 1,03$$

$$\varphi(x) = 1,03x^2 + (-0,21)x + (-0,63)$$

$$\varphi(x_0) = 3,91 \quad |\varphi(x_0) - y_0| = 0,08$$

$$\varphi(x_1) = -0,2675 \quad |\varphi(x_1) - y_1| = 0,11$$

$$\varphi(x_2) = ~~0,1~~ 0,2 \quad |\varphi(x_2) - y_2| = 0,03$$

$$\varphi(x_3) = 5,28 \quad |\varphi(x_3) - y_3| = 0,11$$

$$\varphi(x_4) = 15,01 \quad |\varphi(x_4) - y_4| = 0,07$$

$$\varphi\left(\frac{x_0 + x_1}{2}\right) = 1,24 \quad \left|\varphi\left(\frac{x_0 + x_1}{2}\right) - f\left(\frac{x_0 + x_1}{2}\right)\right| = 0,17$$

$$\varphi\left(\frac{x_1 + x_2}{2}\right) = -0,62 \quad \left|\varphi\left(\frac{x_1 + x_2}{2}\right) - f\left(\frac{x_1 + x_2}{2}\right)\right| = 0,03$$

$$\varphi\left(\frac{x_2 + x_3}{2}\right) = 2,16 \quad \left|\varphi\left(\frac{x_2 + x_3}{2}\right) - f\left(\frac{x_2 + x_3}{2}\right)\right| = 0,08$$

$$\varphi\left(\frac{x_3 + x_4}{2}\right) = 9,57 \quad \left|\varphi\left(\frac{x_3 + x_4}{2}\right) - f\left(\frac{x_3 + x_4}{2}\right)\right| = 0,1$$

# Модульная структура программы и контрольные тесты

## Контрольные тесты

Для каждой функции строится (равномерная) сетка. Далее, для определенного числа узлов  $n$  вычисляются значения полинома в 10000 точках (построение проверочной сетки).

## Модульная структура программы

```
double** generate_ugrid(double (*f)(double), int n,  
double a, double b);
```

- построение равномерной сетки для переданной функции  $f$ , числа узлов  $n$  на отрезке  $[a; b]$ . Возвращает двумерный массив: в каждом подмассиве 2 элемента, на первой позиции - значение координаты  $x$ , на второй -  $y$ .

```
double f_smooth(double x);  
double f_gap(double x);
```

- данные по варианту математические функции.

```
double* LDR_sol(double** A, double* left_v, int n);
```

- решение СЛАУ с главной матрицей  $A$  и свободным столбцом  $left\_v$ , размерности  $n$  средствами LDR разложения

```
double* MLS_coef(double* xh, double* yh, double* p, int m, int n);
```

- реализация МНК.  $xh$  и  $yh$  - узлы сетки,  $p$  - вектор весов (по умолчанию вес каждого узла=1),  $m$  - число коэффициентов искомого полинома,  $n$  - число узлов. Возвращает массив коэффициентов искомого полинома

```
double MLS(double x, double* coefs, int m);
```

- функция, возвращающая значение полинома МНК степени  $m-1$  с коэффициентами  $coefs$  в точке  $x$ .

```
double* change_p(int n, int d_change, int pos_change, int amount);
```

- функция, изменяющая веса узлов.  $n$  - число узлов,  $d\_change$  - позиция узла в сетке для изменения,  $pos\_change$  - позиция уровня изменения (от большего значения веса к меньшему, относительно  $amount$ ),  $amount$  - мелкость распределения весов (вес меняется в диапазоне  $[0, 1)$ )

# Численный анализ решения

Функции и полиномы на одном графике. Графики поточечной ошибки

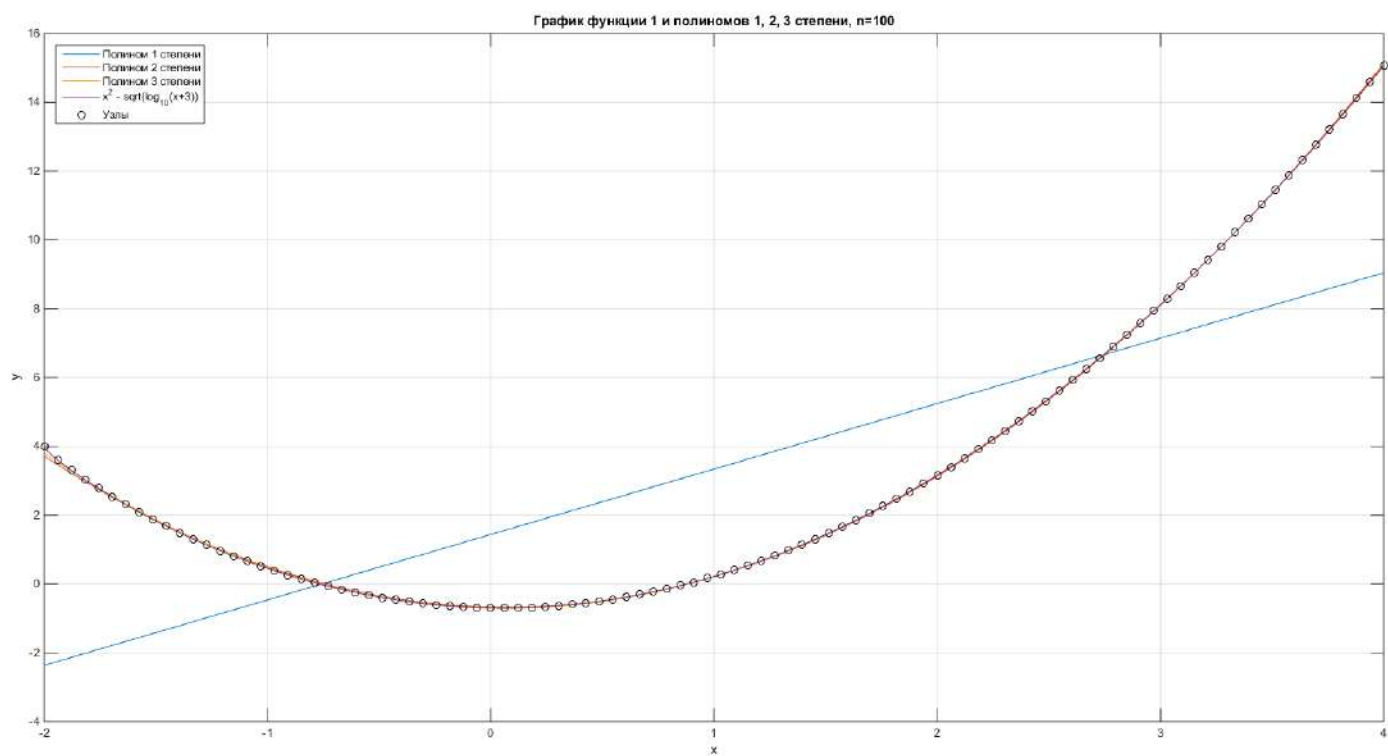


Рис. 1: График функции и полиномов 1,2,3 степени, n=100



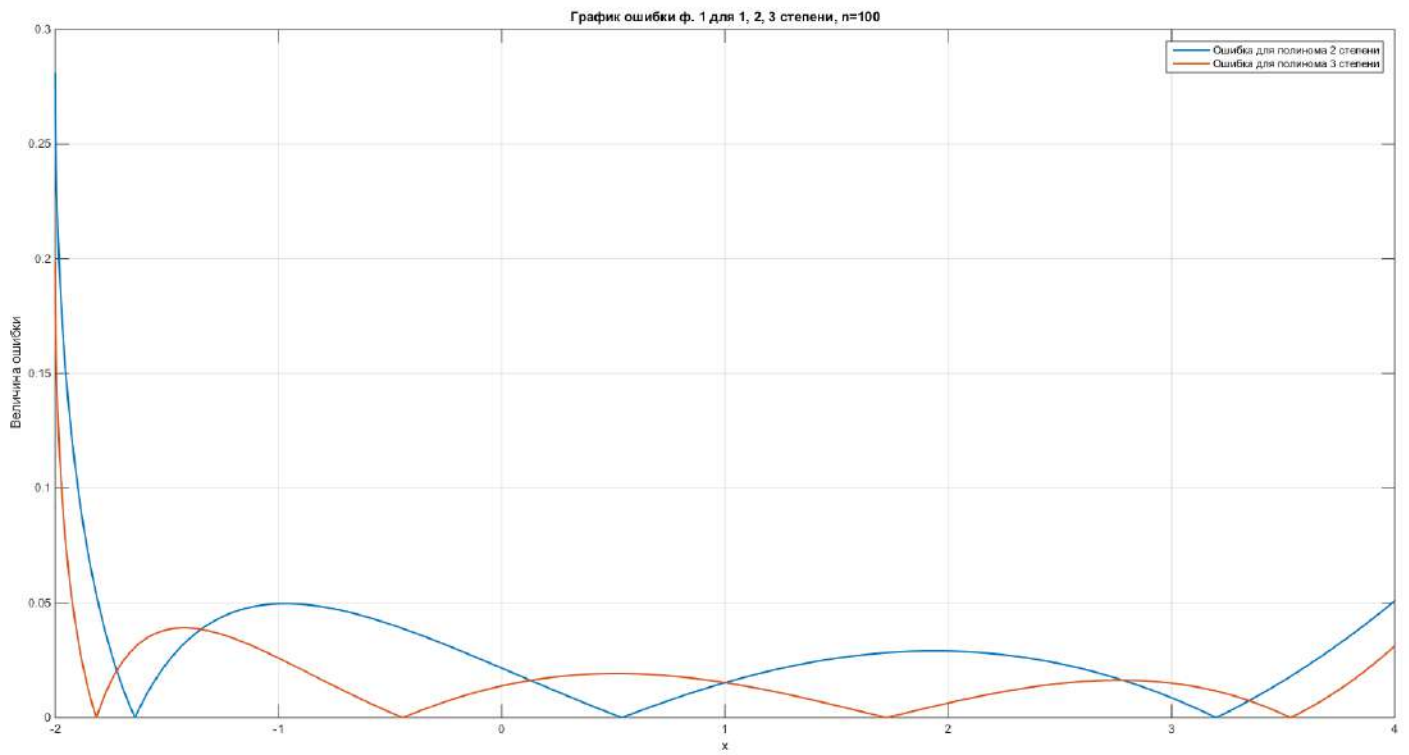


Рис. 2: График поточечной ошибки для функции 1 и полиномов 2,3 степени, n=100

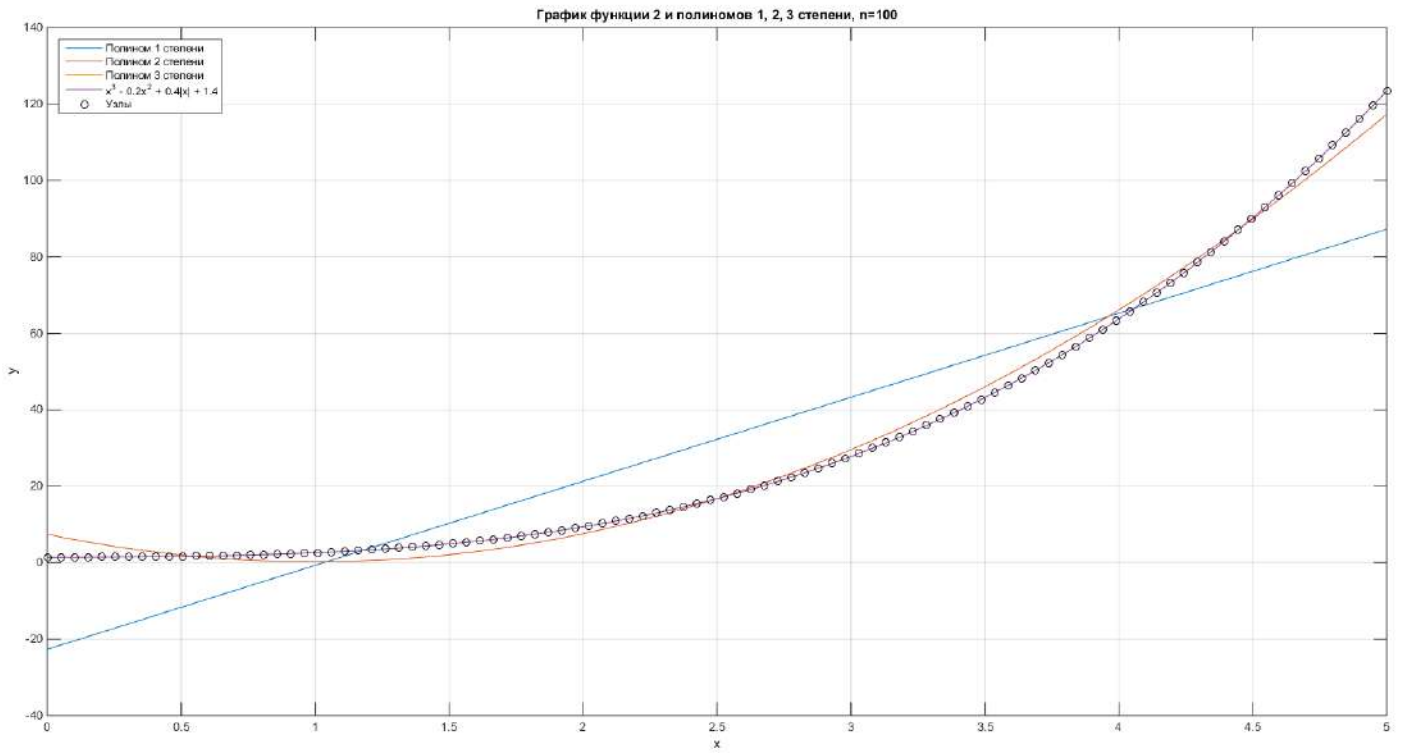


Рис. 3: График функции 2 и полиномов 1,2,3 степени, n=100

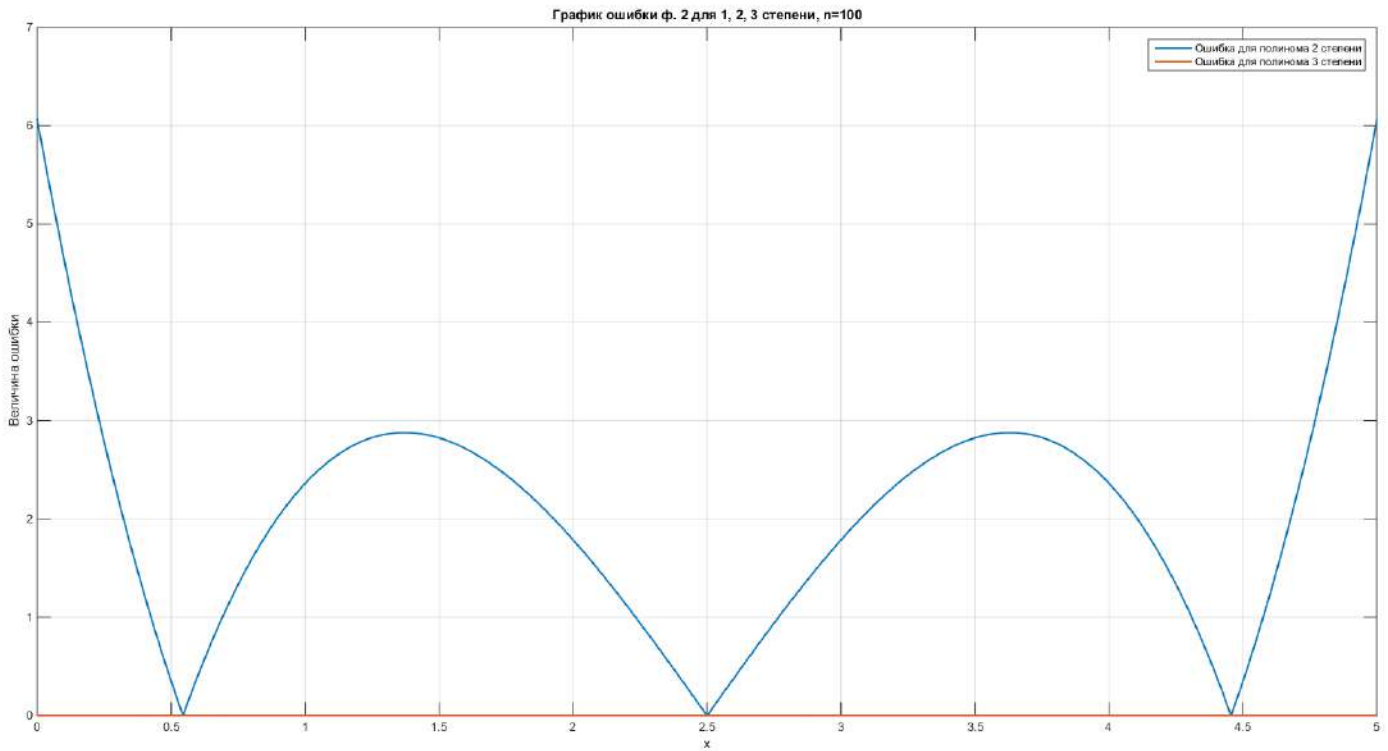


Рис. 4: График поточечной ошибки для функции 2 и полиномов 2,3 степени,  $n=100$

На рисунке 1 видно, что графики полиномов практически совпадают с заданной функцией, что подтверждает рисунок 2. Иная картина для функции 2: ошибка полинома второй степени велика, а третья степень полностью совпадает с функцией на отрезке (см. рисунок 4).

## Зависимость максимальной ошибки от числа узлов

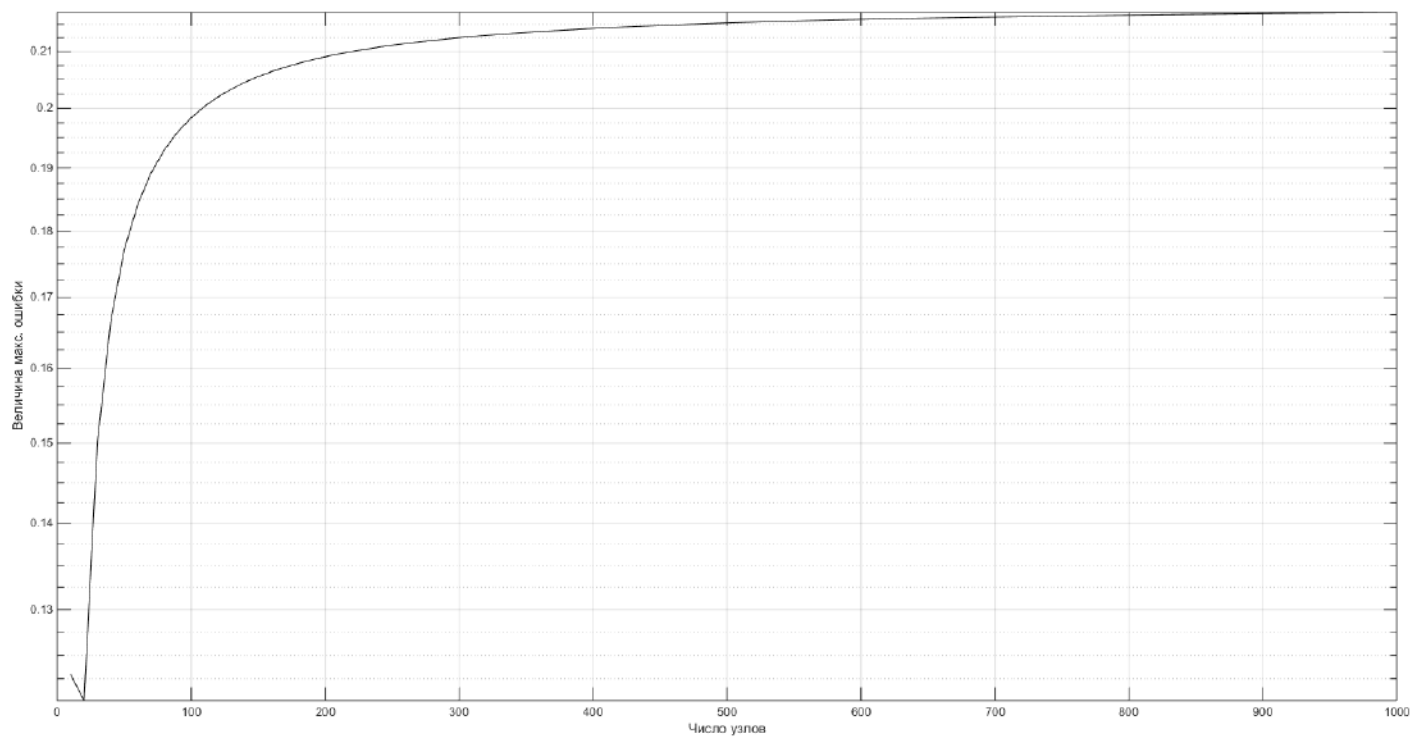


Рис. 5: График максимальной ошибки от числа узлов, функция 1

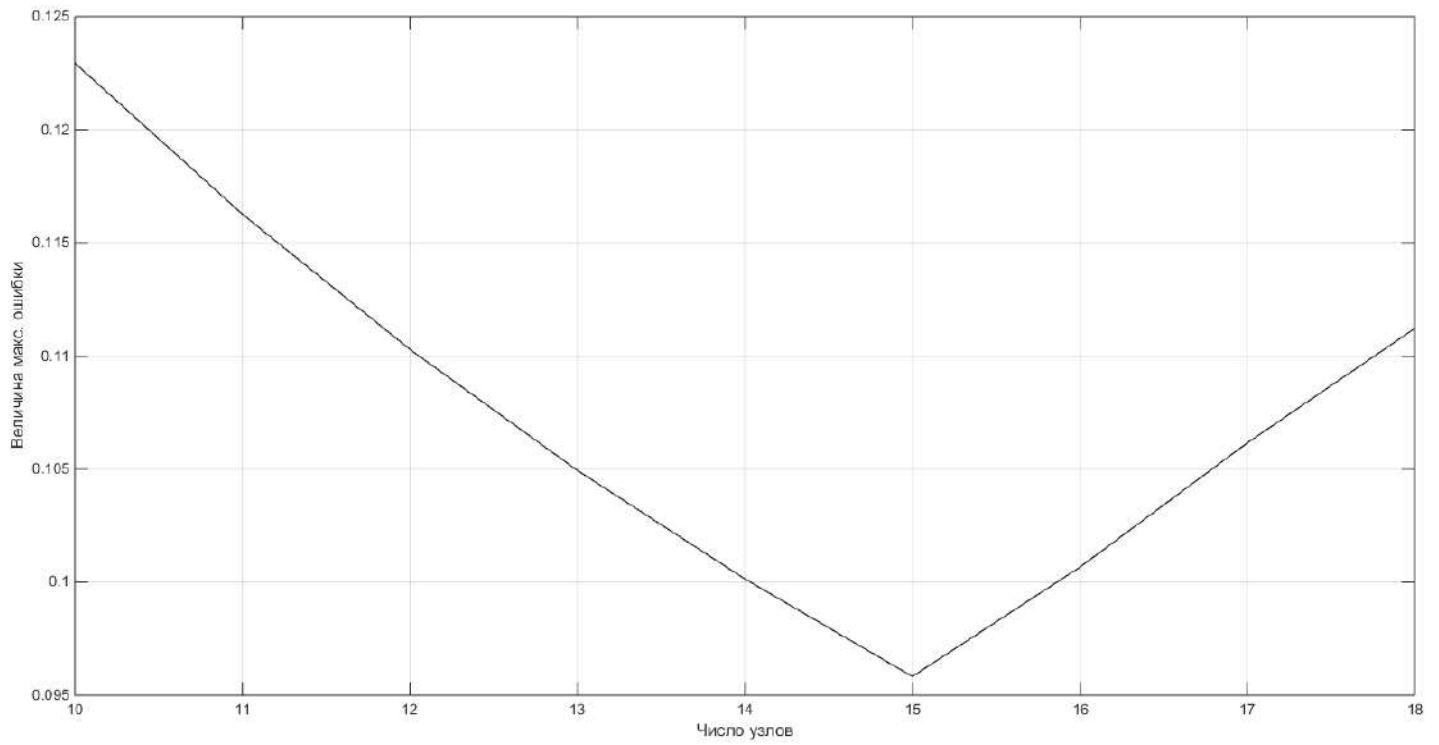


Рис. 6: График максимальной ошибки от числа узлов, рассмотрение ситуации с минимальным значением ошибки, функция 1

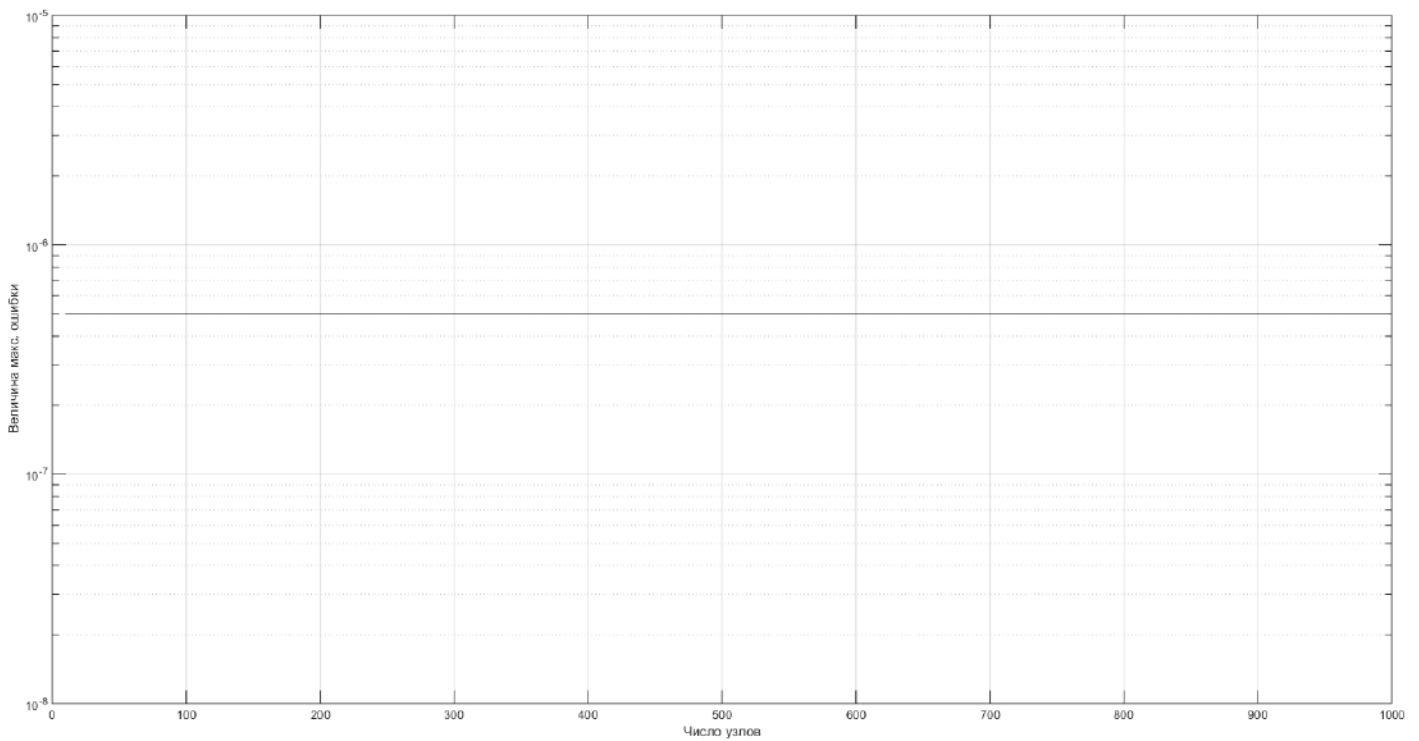


Рис. 7: График максимальной ошибки от числа узлов, функция 2

Рисунок 6 показывает, что с увеличением числа узлов возрастает ошибка. Рисунок 7 же показывает, что максимальная ошибка для функции 2 не зависит от числа узлов и близка к нулю.

## Зависимость максимальной ошибки от степени полинома

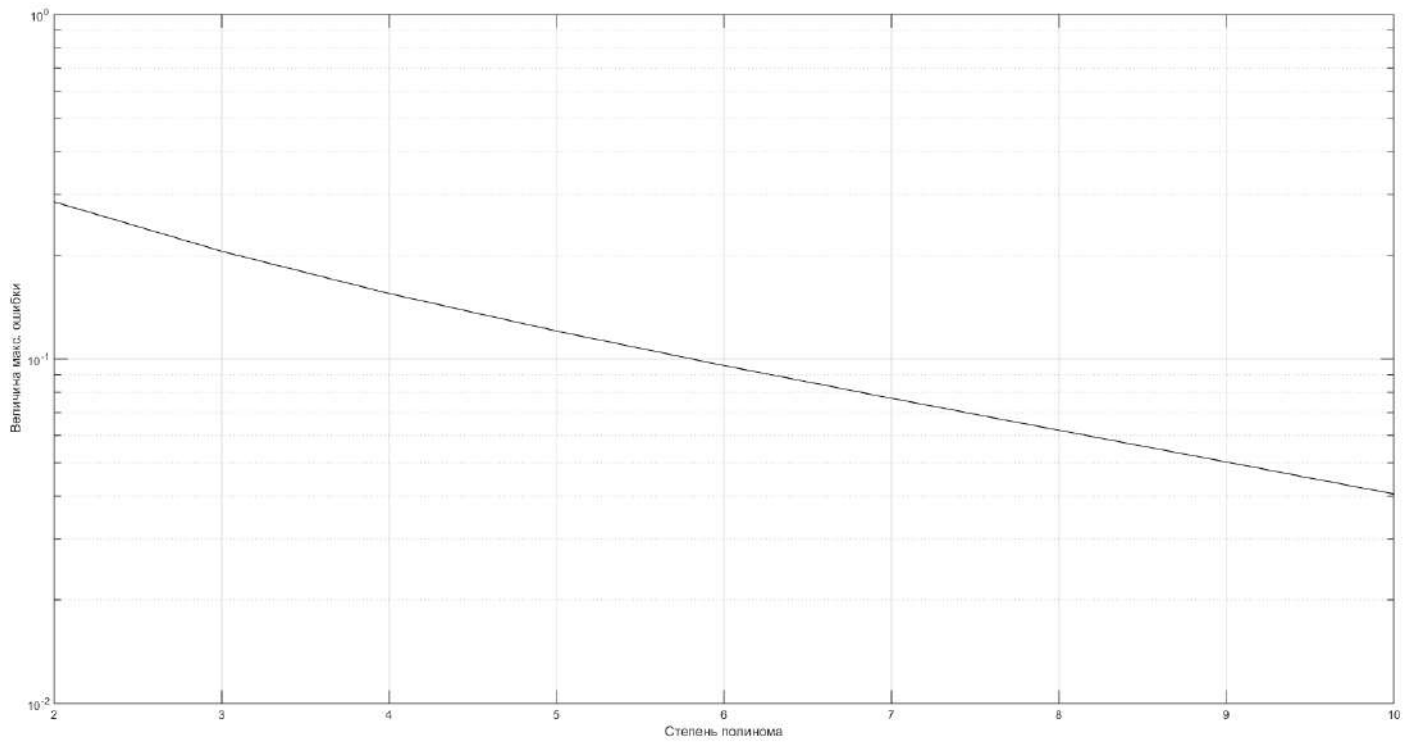


Рис. 8: График максимальной ошибки от степени полинома, функция 1

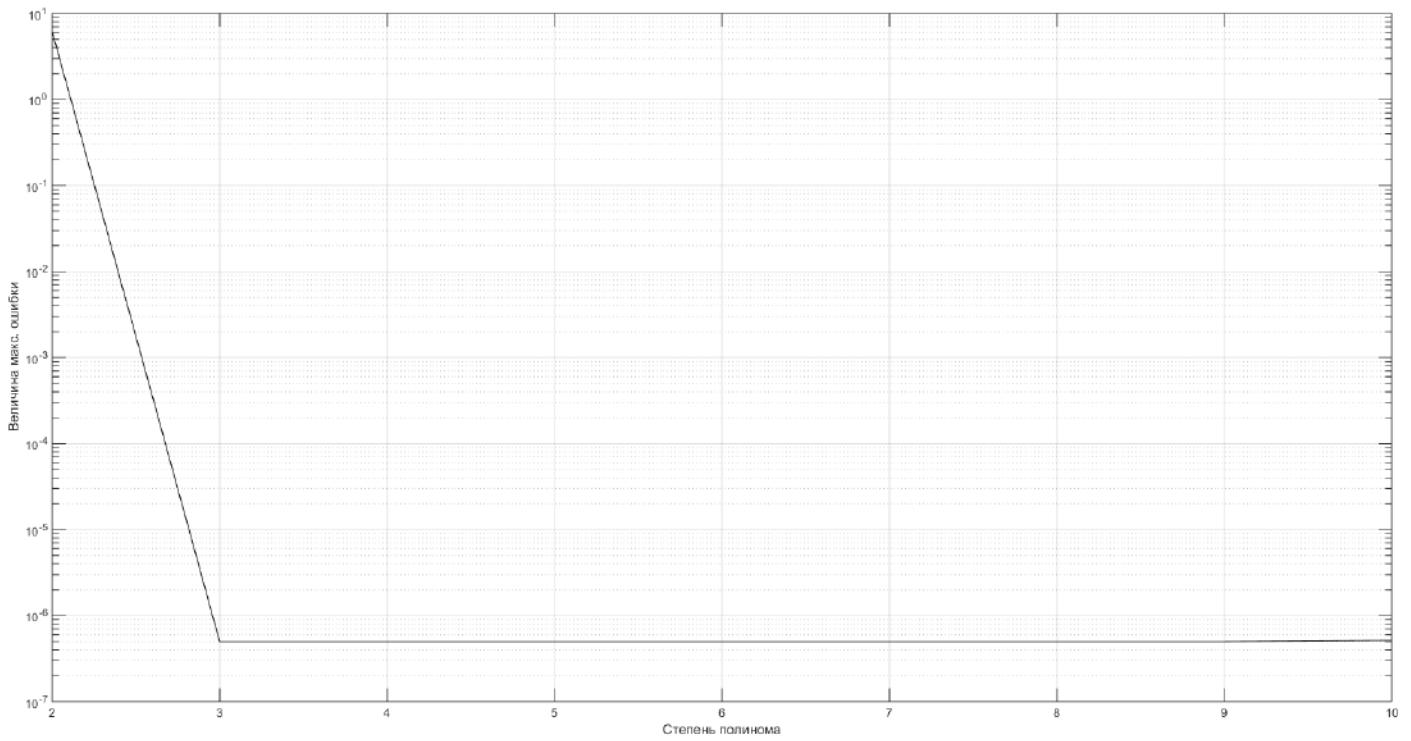


Рис. 9: График максимальной ошибки от степени полинома, функция 2

Оба графика дают понять, что с увеличением степени полинома погрешность уменьшается.



## Дополнительное задание: влияние заданного веса узлов на МНК

Сумма узлов равна 1, меняется вес лишь одной точки, отмеченной красным маркером на следующих 6 графиках. Вес остальных точек распределяется равномерно.

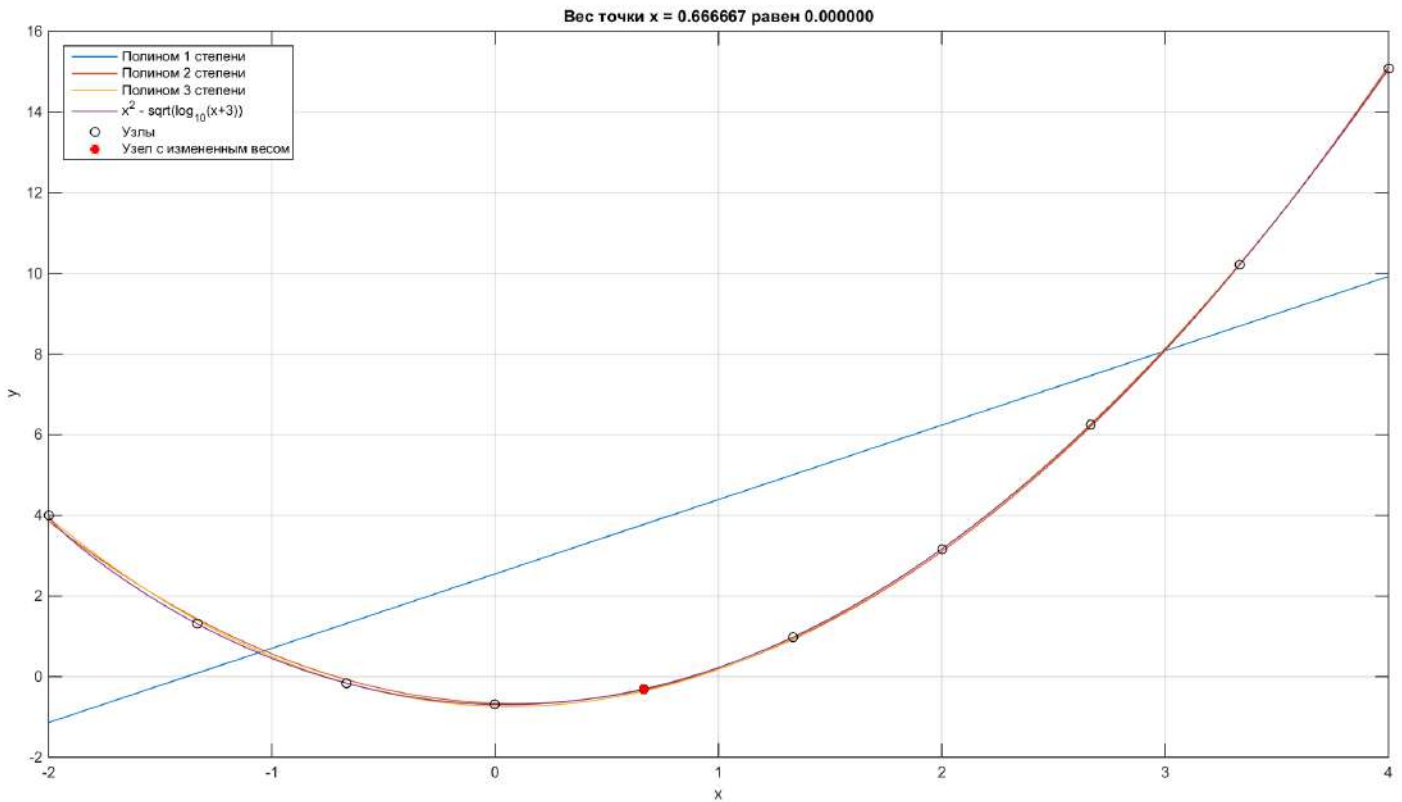


Рис. 10: График функции 1 и полиномов 1,2,3 степени, с узлом, имеющим вес 0

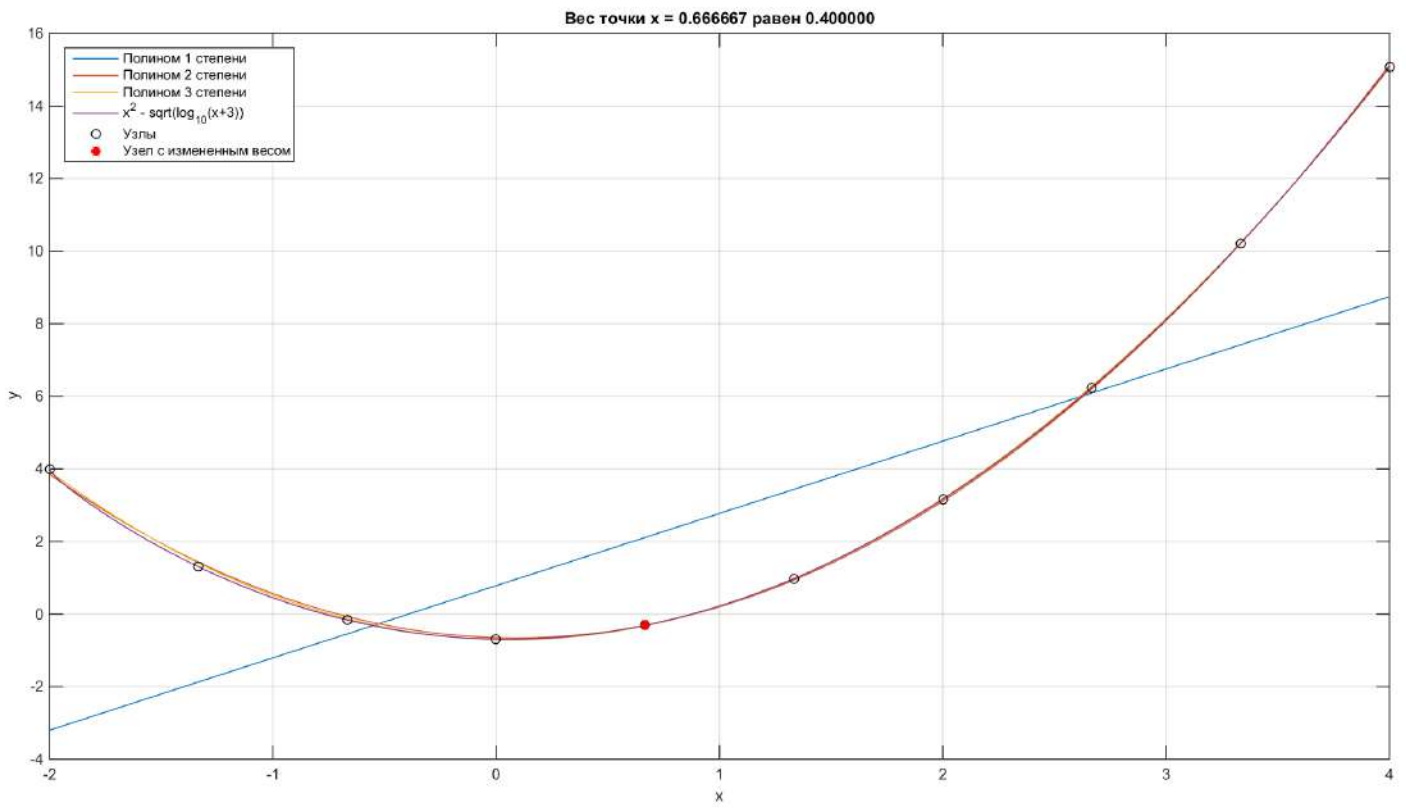


Рис. 11: График функции 1 и полиномов 1,2,3 степени, с узлом, имеющим вес 0.4

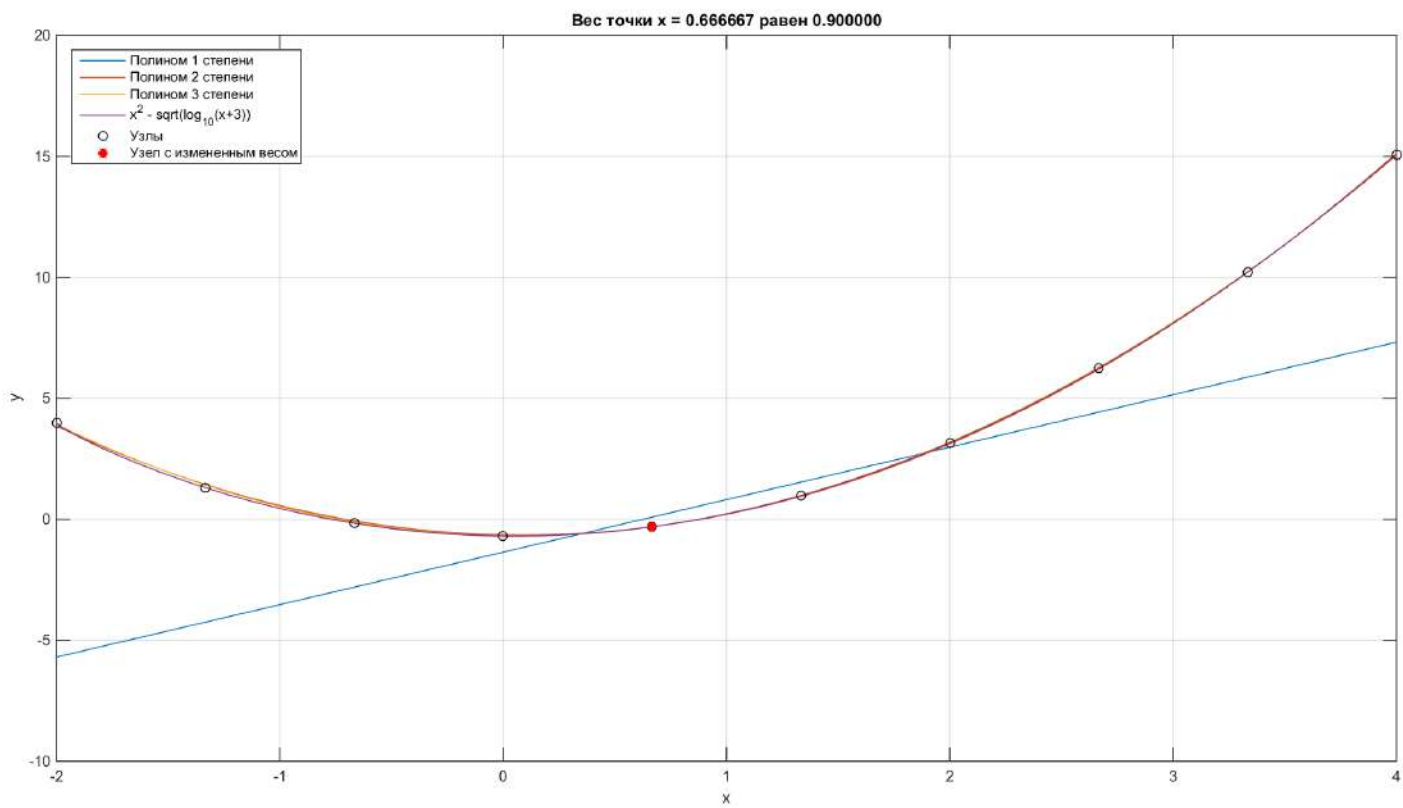


Рис. 12: График функции 1 и полиномов 1,2,3 степени, с узлом, имеющим вес 0.9

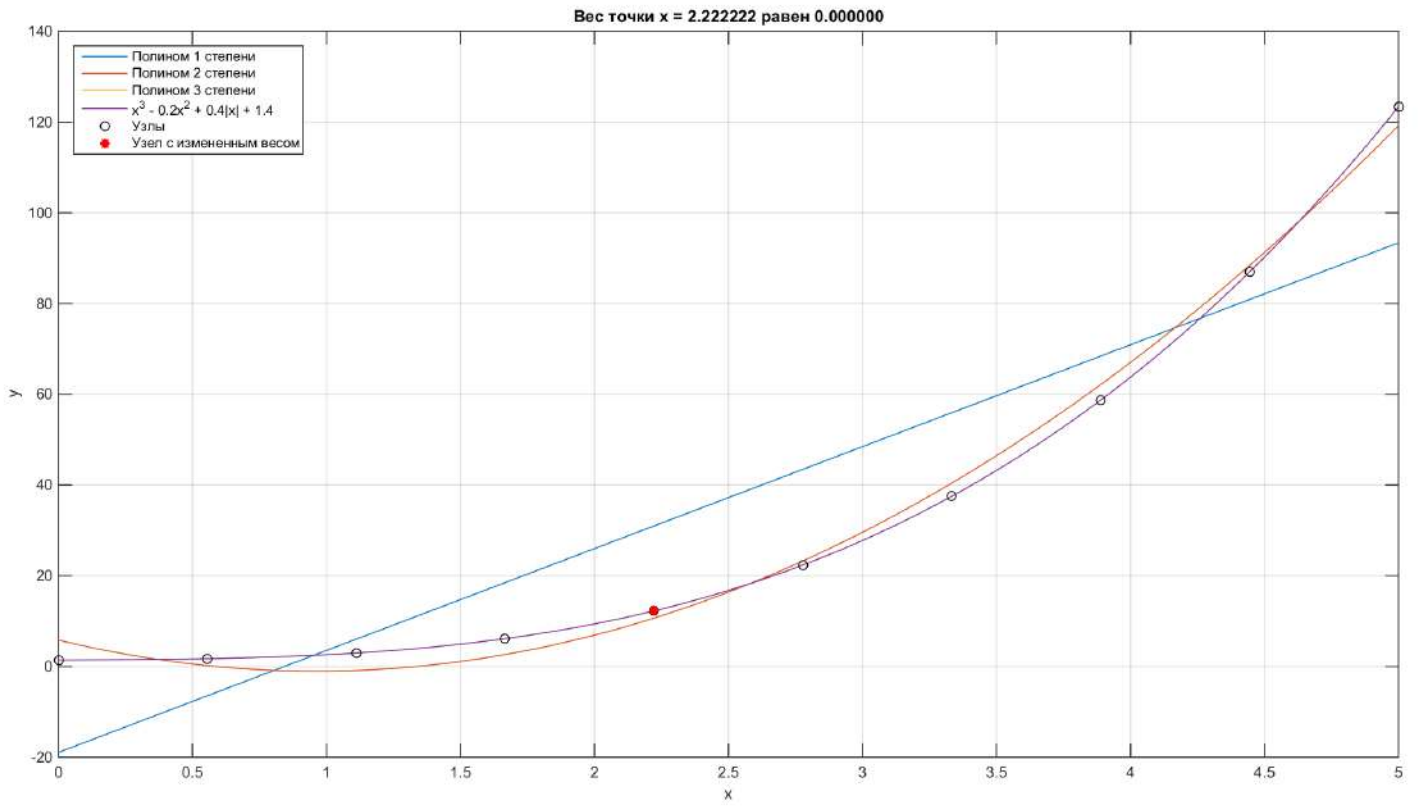


Рис. 13: График функции 2 и полиномов 1,2,3 степени, с узлом, имеющим вес 0

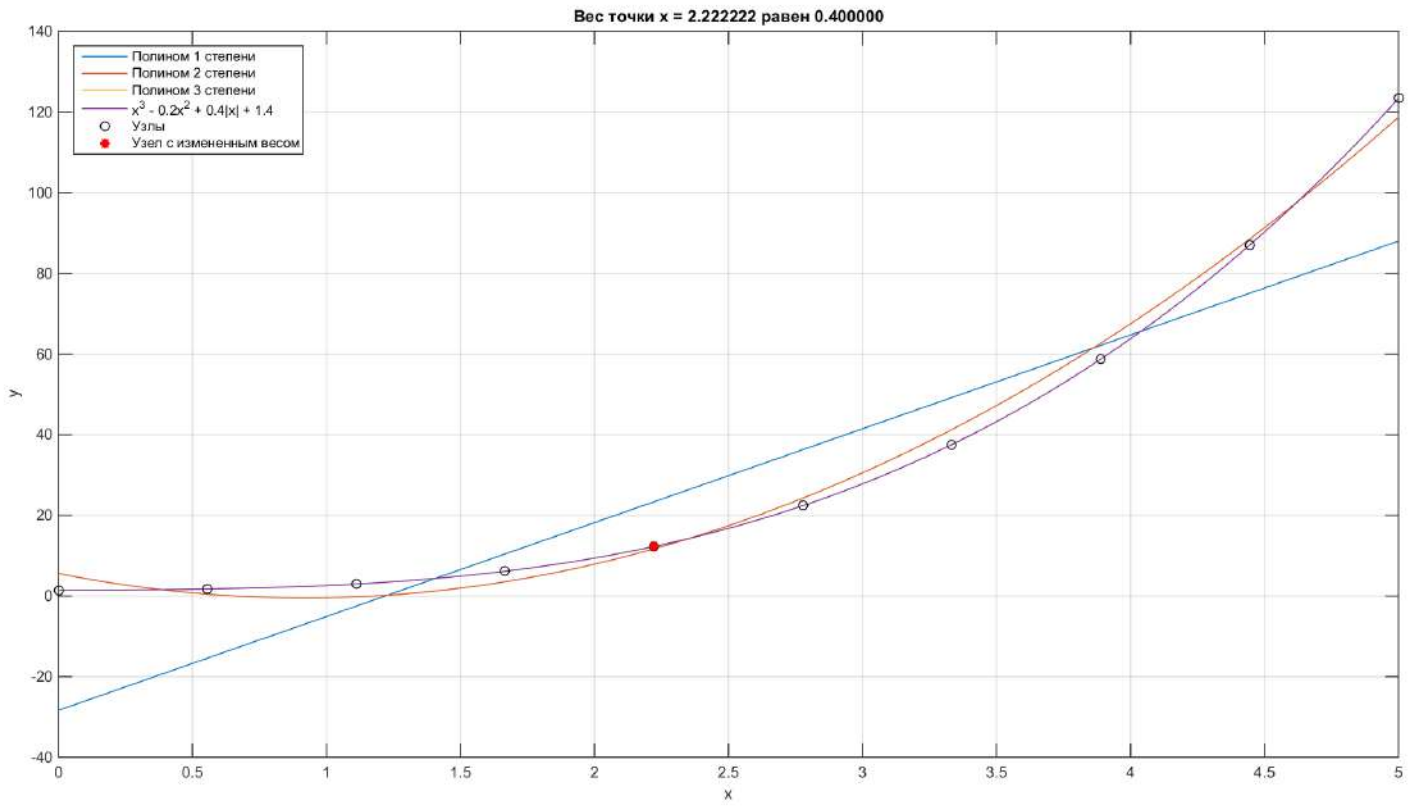


Рис. 14: График функции 2 и полиномов 1,2,3 степени, с узлом, имеющим вес 0.4

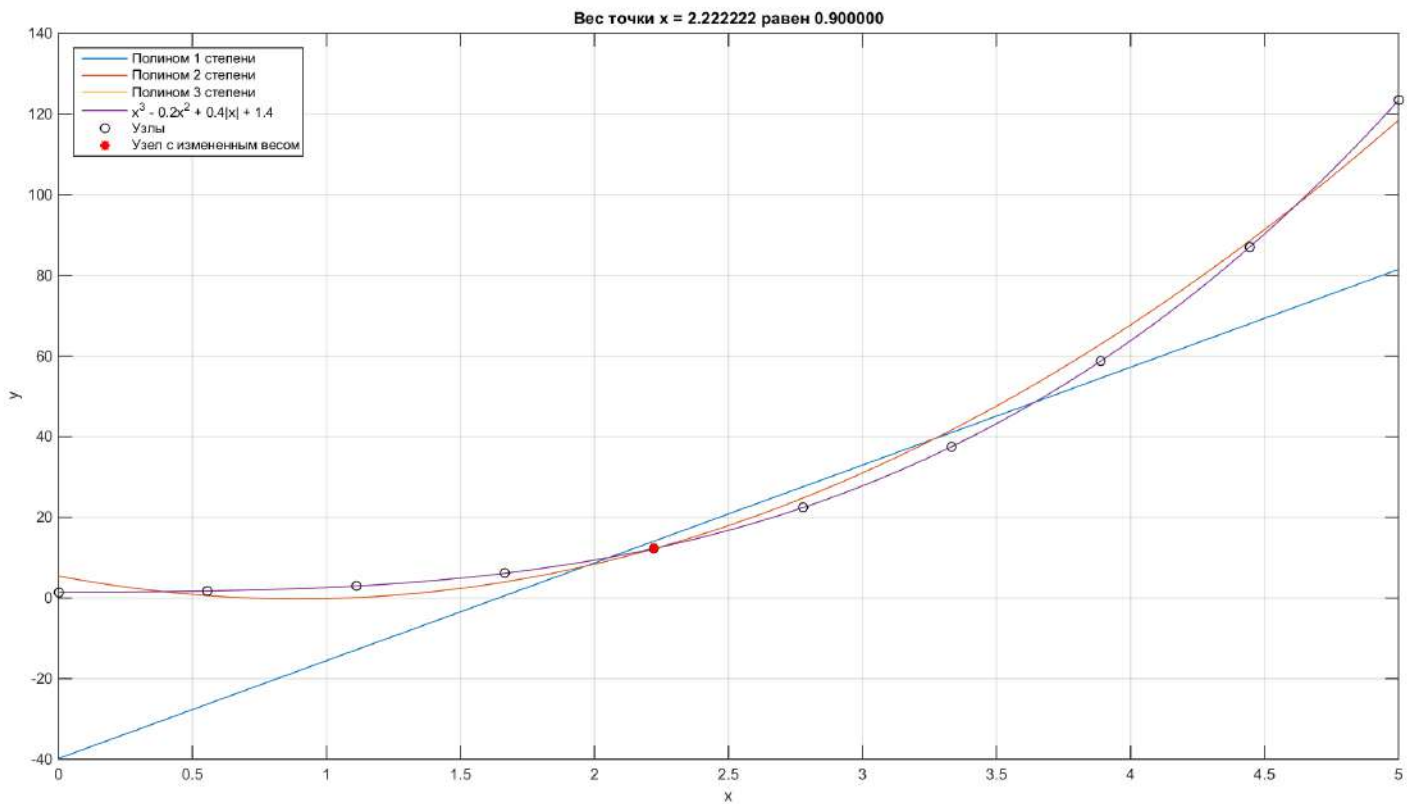


Рис. 15: График функции 2 и полиномов 1,2,3 степени, с узлом, имеющим вес 0.9

Из всех представленных рисунков видно, что при приближении веса точки к максимальному значению (к 1), графики всех трех полиномов "стараяются попасть" в эту точку.

Далее приведу анализ ошибки полиномов в точке, максимальной ошибки при увеличении веса одной точки

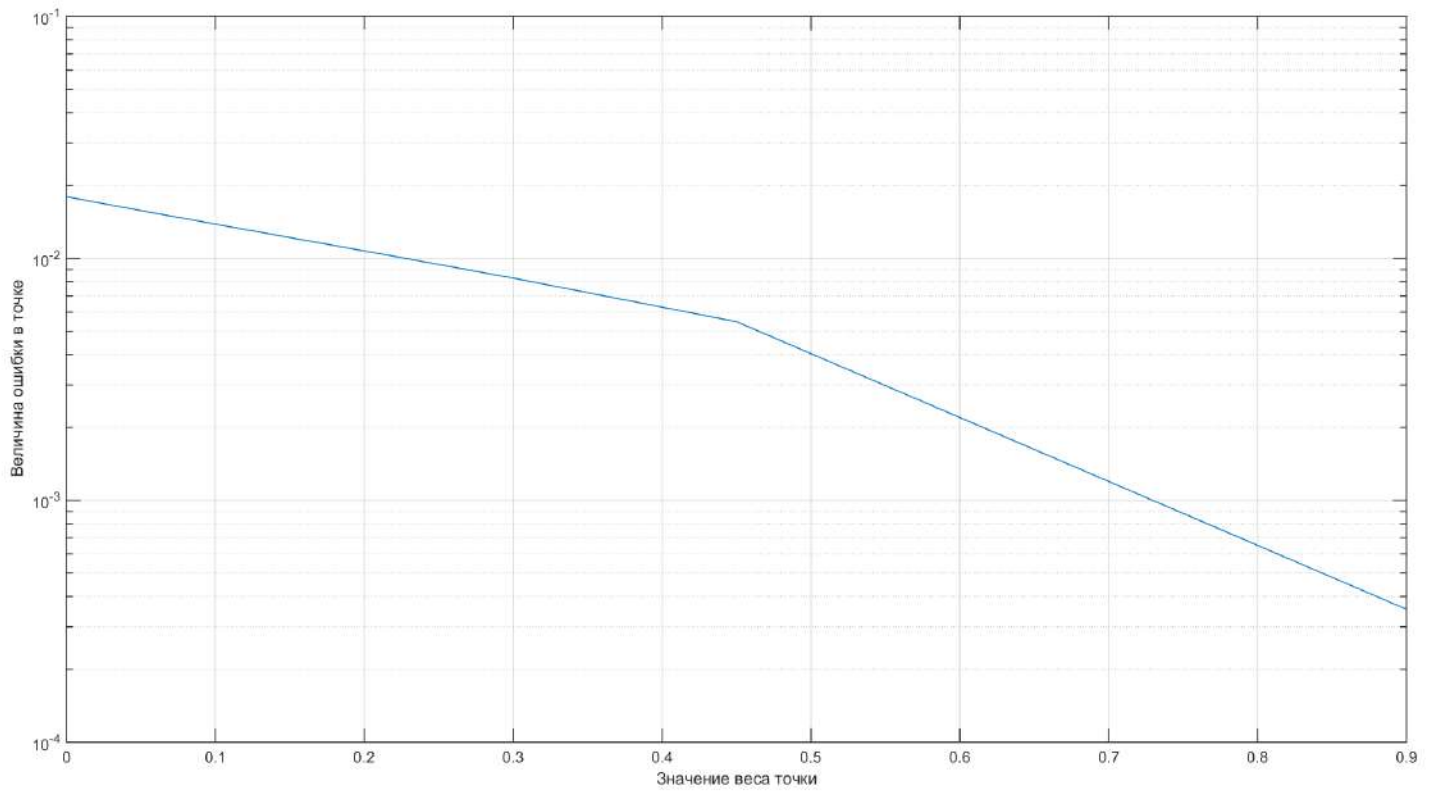


Рис. 16: График ошибки в точке, в которой происходит изменение веса, от веса этой точки, функция 1

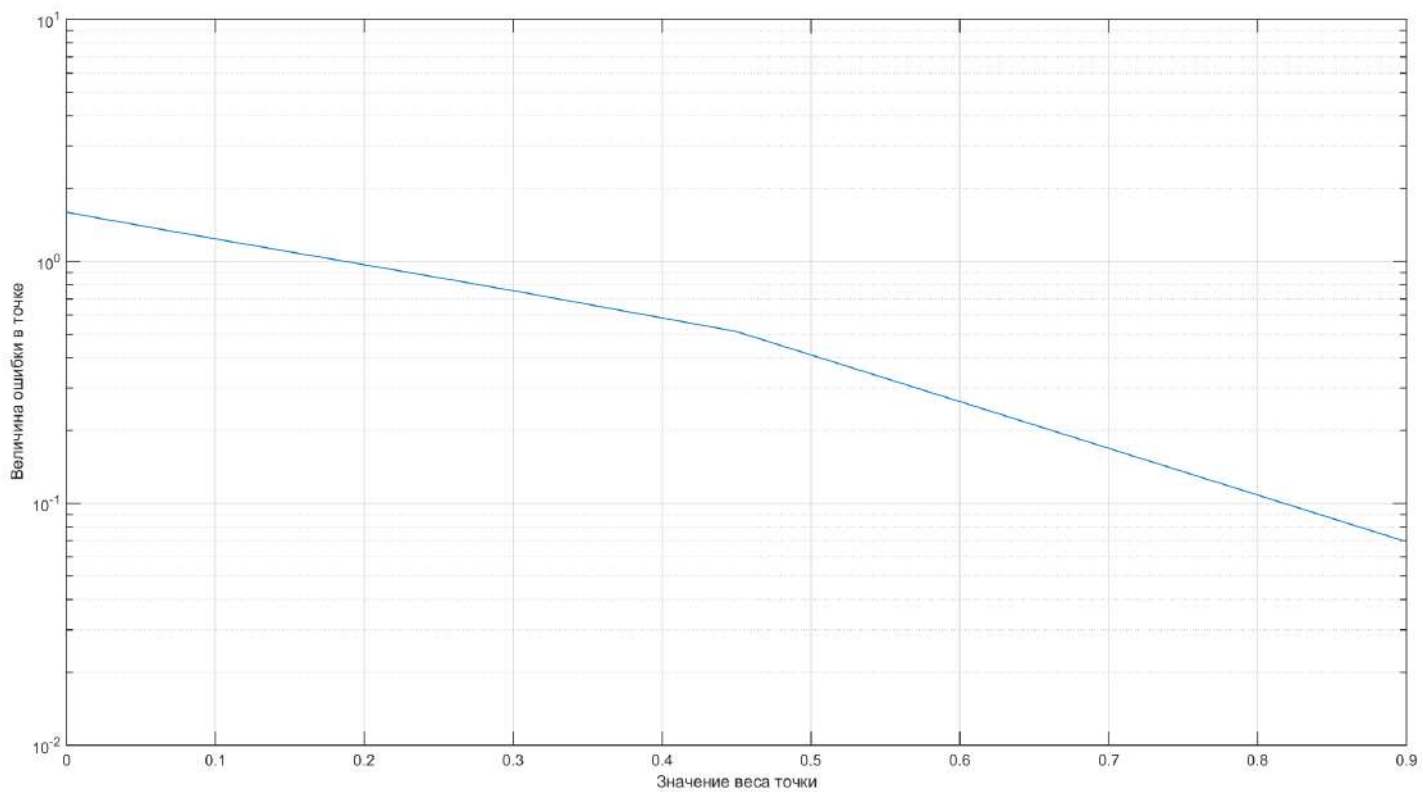


Рис. 17: График ошибки в точке, в которой происходит изменение веса, от веса этой точки, функция 2

Рисунки 16 и 17 показывают ожидаемую картину - при увеличении веса в точке, ошибка в этой точке уменьшается



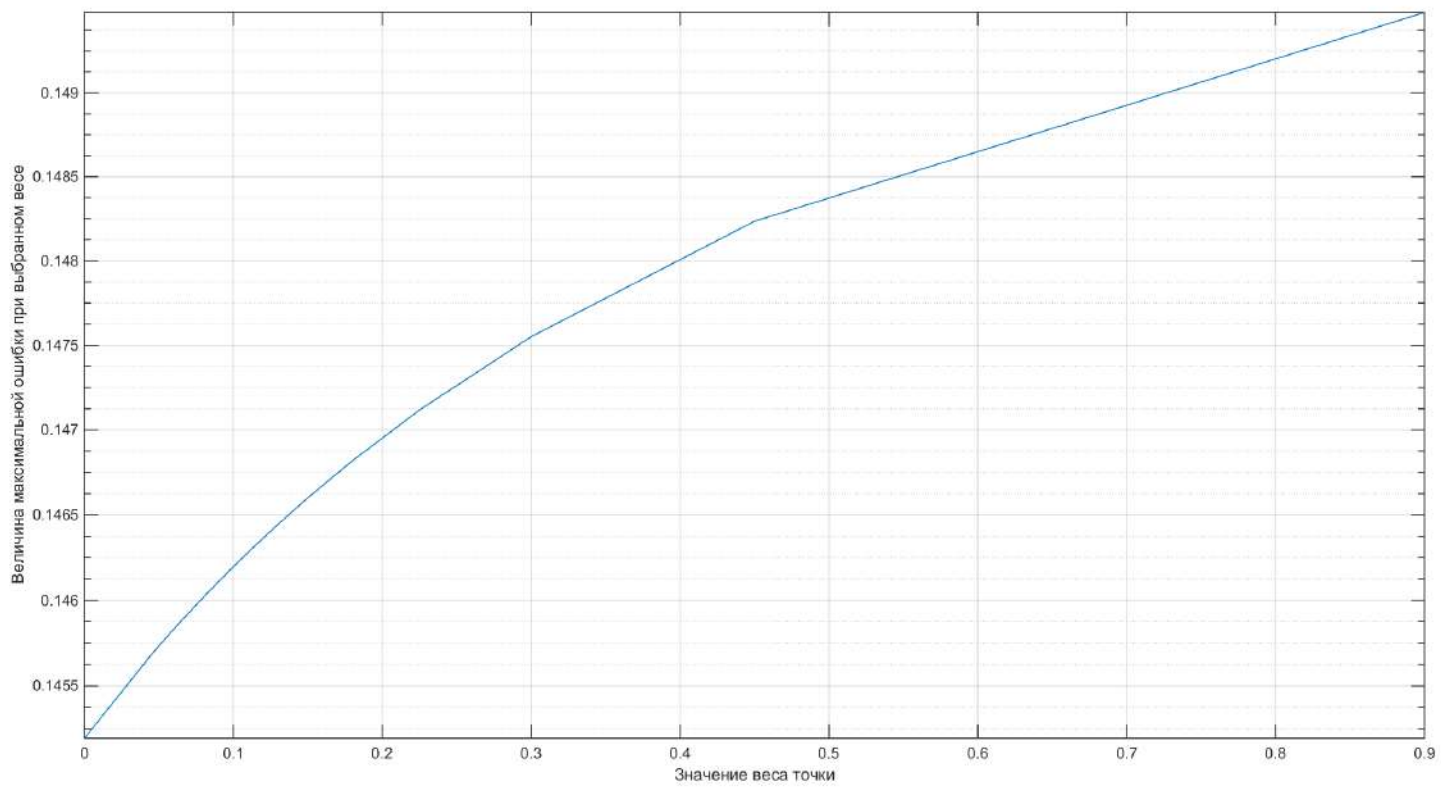


Рис. 18: График максимальной ошибки приближения в зависимости от веса одного узла, функция 1

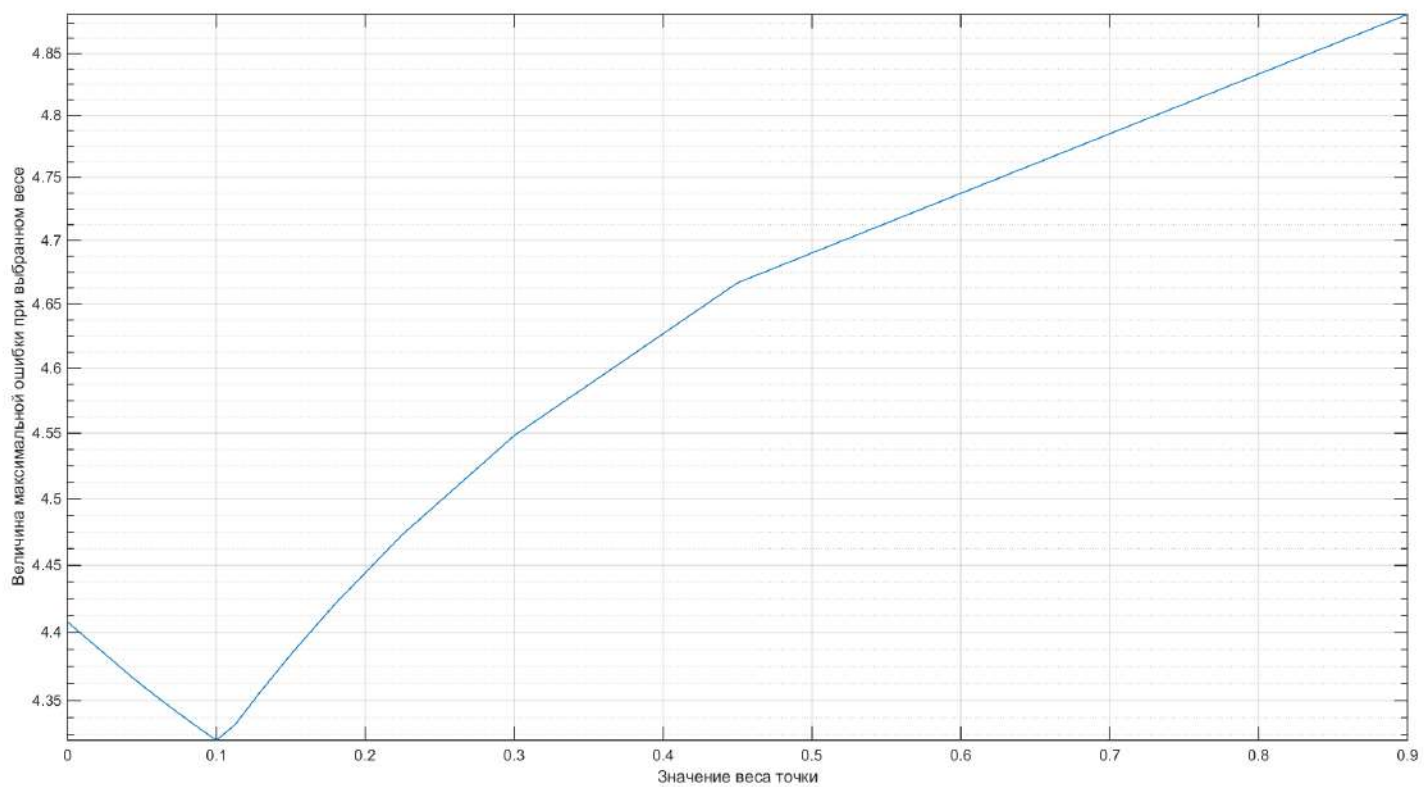


Рис. 19: График максимальной ошибки приближения в зависимости от веса одного узла, функция 2

Графики продемонстрировали ожидаемое увеличение максимальной величины ошибки с ростом веса одного узла.

## Выводы

1. Метод наименьших квадратов для системы алгебраических полиномов приближает функцию тем точнее, чем выше степень полинома
2. Большое число узлов отрицательно влияет на приближение
3. Выбор веса узла - весьма оптимальное решение в условиях разбивки данных по категориям: для определенной выборки точек, играющих важную роль в приближении можно выбрать больший вес.